

МИНИСТЕРСТВО НАУКИ И ВЫСШЕГО ОБРАЗОВАНИЯ РОССИЙСКОЙ  
ФЕДЕРАЦИИ  
ФЕДЕРАЛЬНОЕ ГОСУДАРСТВЕННОЕ АВТОНОМНОЕ ОБРАЗОВАТЕЛЬНОЕ  
УЧРЕЖДЕНИЕ ВЫСШЕГО ОБРАЗОВАНИЯ  
«Национальный исследовательский ядерный университет «МИФИ» (НИЯУ МИФИ)

ПРАКТИЧЕСКАЯ РАБОТА №3  
ПО КУРСУ «ТЕОРИЯ НЕЛИНЕЙНЫХ СИСТЕМ РЕГУЛИРОВАНИЯ»

Расчет и подавление автоколебаний в нелинейных системах

Вариант №7

Выполнил: студент гр. Б21-215  
Воронков Никита Вадимович

Москва, 2024

# Содержание

1	Исходные данные	3
2	Модель системы нащей системы	4
3	Определение параметров автоколебаний по данным моделирования системы	5
4	Расчёт параметров автоколебаний методом гармонической линеаризации	6
5	Оценка погрешностей полученных результатов	7
6	Синтез линейного корректирующего устройства	8
7	Модель системы с корректирующим устройством $W_1$	10
8	Модель системы с корректирующим устройством $W_2$	12
9	Анализ результатов	13
10	Програмная реализация	13

Цель работы: изучение метода гармонической линеаризации применительно к расчёту параметров автоколебаний в нелинейных системах, а также использование метода шаблонов при синтезе линейных корректирующих устройств.

## 1 Исходные данные

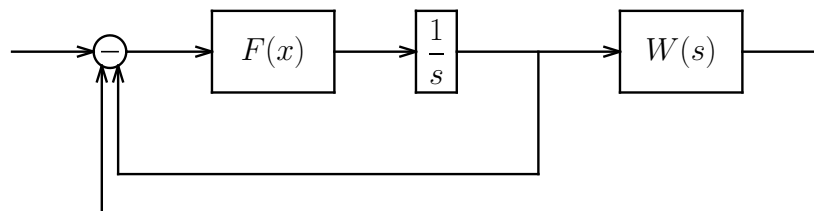


Рис. 1 – Нелинейная САУ

Узловые точки для КЛФ  $F(x)$ :

$$(-5; -2), (-1; -2), (1; 2), (5; 2)$$

Величина входного воздействия:

$$u = 2$$

Передаточная функция линейной части САУ:

$$W(s) = \frac{2 + 30s}{s(s^2 + 0.4s + 20)}$$

## 2 Модель системы нашей системы



Рис. 2 – График КЛФ  $F(x)$

Составим систему дифференциальных уравнений:

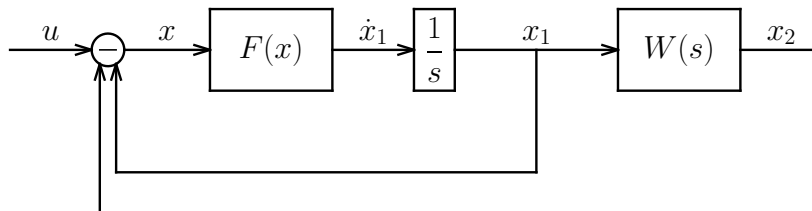


Рис. 3 – Нелинейная САУ

$$W(p) = \frac{2 + 30p}{p(p^2 + 0.4p + 20)} = \frac{x_2(p)}{x_1(p)}$$

$$(p^3 + 0.4p^2 + 20p)x_2(p) = (2 + 30p)x_1(p)$$

$$\underbrace{p^3 x_2}_{\frac{d^3 x_2}{dt^3}} + 0.4 \underbrace{p^2 x_2}_{\frac{d^2 x_2}{dt^2}} + 20 \underbrace{p x_2}_{\frac{dx_2}{dt}} = 2x_1 + 30 \underbrace{p x_1}_{\frac{dx_1}{dt}}$$

Данное дифференциальное уравнение эквивалентно системе дифференциальных уравнений:

$$\begin{cases} \dot{x}_1 = z \\ \dot{x}_2 = y_1 \\ \dot{y}_1 = y_2 \\ \dot{y}_2 = 2x_1 + 30z - 0.4y_2 - 20y_1 \end{cases}$$

Отсюда получим систему, описывающую систему в целом:

$$\begin{cases} x = u - x_1 - x_2 \\ \dot{x}_1 = F(x) \\ \dot{x}_2 = y_1 \\ \dot{y}_1 = y_2 \\ \dot{y}_2 = 2x_1 - 20y_1 - 0.4y_2 + 30F(x) \end{cases}$$

### 3 Определение параметров автоколебаний по данным моделирования системы

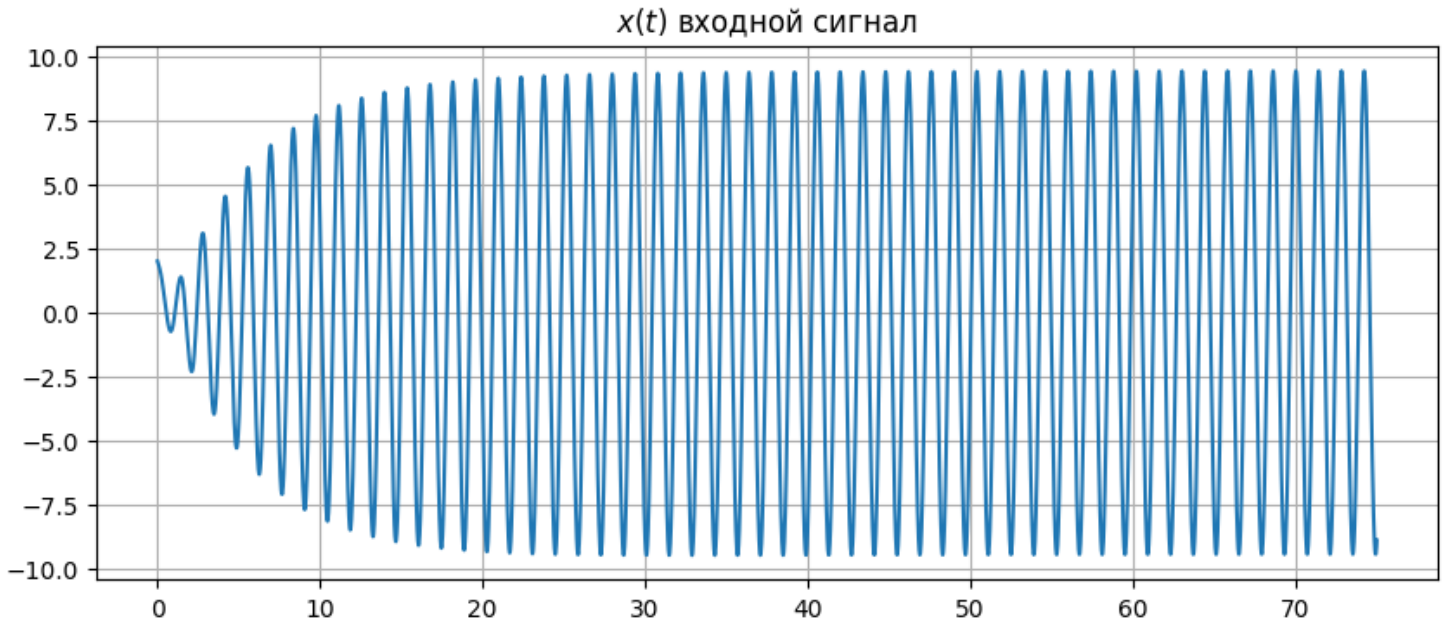


Рис. 4 – График входного сигнала  $x(t)$

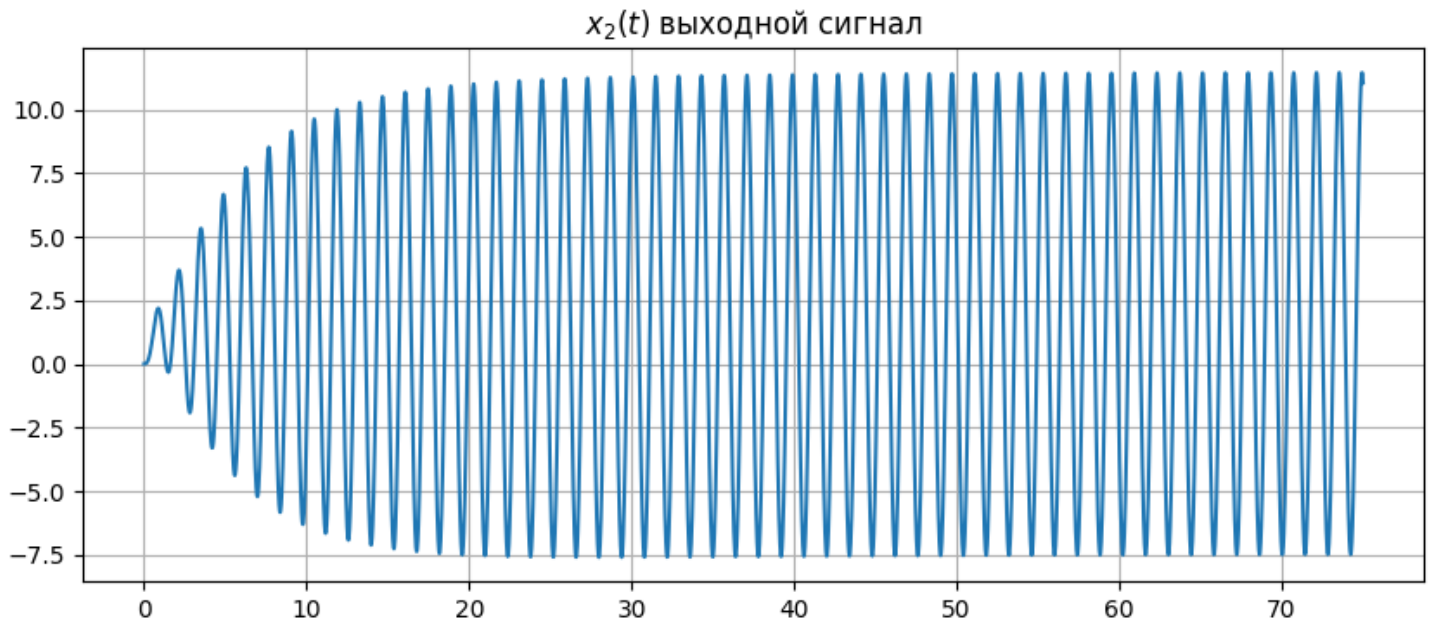


Рис. 5 – График выходного сигнала  $x_2(t)$

По данным графикам можно определить параметры автоколебаний:

$$A_{\text{эксп}} = 9.44$$

$$\omega_{\text{эксп}} = \frac{2\pi}{T} = \frac{2\pi}{1.40} = 4.46$$

## 4 Расчёт параметров автоколебаний методом гармонической ли- неаризации

$$x = u - x_1 - x_2$$

$$\dot{x}_1 = px_1 = F(x) \Rightarrow x_1 = \frac{1}{p}F(x)$$

$$x_2 = W(p)x_1 = W(p)\frac{1}{p}F(x)$$

$$x = u - \left(1 + W(p)\right)\frac{1}{p}F(x) = u - \left(1 + \frac{2 + 30p}{p(p^2 + 0.4p + 20)}\right)\frac{1}{p}F(x) =$$

$$= u - \frac{p^3 + 0.4p^2 + 20p + 2 + 30p}{p^3 + 0.4p^2 + 20p} \frac{1}{p}F(x) =$$

$$= u - \frac{p^3 + 0.4p^2 + 50p + 2}{p^4 + 0.4p^3 + 20p^2}F(x) = x$$

$$\underbrace{(p^4 + 0.4p^3 + 20p^2)}_{Q(p)}x + \underbrace{(p^3 + 0.4p^2 + 50p + 2)}_{R(p)}F(x) = \underbrace{(p^4 + 0.4p^3 + 20p^2)}_{S(p)}u$$

При приближённом описании сигнала  $x(t) = x_0 + \bar{x}(t)$ ,  $\bar{x}(t) = A \sin \omega t$ , получим:

$$\begin{cases} Q(0)x_0 + R(0)F_0(x_0, A) = S(0)u \\ Q(i\omega) + R(i\omega)(q(x_0, A) + iq'(x_0, A)) = 0 \end{cases}$$

где  $F_0(x_0, A) = \frac{1}{2\pi} \int_0^{2\pi} F(x_0 + A \sin \psi) d\psi$

$$q(x_0, A) = \frac{1}{\pi A} \int_0^{2\pi} F(x_0 + A \sin \psi) \sin \psi d\psi$$

$$q'(x_0, A) = \frac{1}{\pi A} \int_0^{2\pi} F(x_0 + A \sin \psi) \cos \psi d\psi$$

В данной системе  $q'(x_0, A) = 0$ , поскольку нелинейность однозначная.

Тогда получим систему для поиска  $A$  и  $\omega$ :

$$\begin{cases} q(x_0, A) = -\frac{\operatorname{Re} Q(i\omega)}{\operatorname{Re} R(i\omega)} \\ \operatorname{Re} R(i\omega) \operatorname{Im} Q(i\omega) - \operatorname{Re} Q(i\omega) \operatorname{Im} R(i\omega) = 0 \end{cases}$$

$$R(i\omega) = (i\omega)^3 + 0.4(i\omega)^2 + 50(i\omega) + 2 = -i\omega^3 - 0.4\omega^2 + 50i\omega + 2 = (-0.4\omega^2 + 2) + i(-\omega^3 + 50\omega)$$

$$Q(i\omega) = (i\omega)^4 + 0.4(i\omega)^3 + 20(i\omega)^2 = \omega^4 - 0.4i\omega^3 - 20\omega^2 = (\omega^4 - 20\omega^2) + i(-0.4\omega^3)$$

$$\operatorname{Re} R(i\omega) \operatorname{Im} Q(i\omega) - \operatorname{Re} Q(i\omega) \operatorname{Im} R(i\omega) =$$

$$= (-0.4\omega^2 + 2)(-0.4\omega^3) - (\omega^4 - 20\omega^2)(-\omega^3 + 50\omega) =$$

$$= \omega^7 - 69.84\omega^5 + 999.2\omega^3 = 0$$

Положительные корни данного уравнения:  $\omega_1 = 4.4811$ ,  $\omega_2 = 7.0540$ . Опираясь на полученные до этого данные из моделирования системы, возьмём  $\omega_{\text{теор}} = \omega_1$ :

$$q(x_0, A) = -\frac{\operatorname{Re} Q(i\omega_{\text{теор}})}{\operatorname{Re} R(i\omega_{\text{теор}})} = -\frac{\omega_{\text{теор}}^4 - 20\omega_{\text{теор}}^2}{-0.4\omega_{\text{теор}}^2 + 1} = 0.2671$$

Для расчёта  $q(x_0, A)$  можно воспользоваться одной из приближённых формул:

$$q(A) \approx \frac{2}{3A} \left( F(A) + F\left(\frac{A}{2}\right) \right)$$

Снова опираясь на полученные данные из моделирования, будем считать, что  $A > 2$ , за счёт чего  $F(A) = F\left(\frac{A}{2}\right) = 2$ :

$$q(x_0, A) \approx \frac{2}{3A}(2 + 2) = \frac{8}{3A}$$

$$\Rightarrow A_{\text{теор}} = \frac{8}{3q(x_0, A)} = 9.9837$$

Итак, получены теоретические значения параметров автоколебаний:

$$A_{\text{теор}} = 9.9837$$

$$\omega_{\text{теор}} = 4.4811$$

## 5 Оценка погрешностей полученных результатов

$$\delta A = \frac{|A_{\text{теор}} - A_{\text{эксп}}|}{A_{\text{теор}}} = \frac{|9.9837 - 9.4400|}{9.9837} = 5.44\%$$

$$\delta \omega = \frac{|\omega_{\text{теор}} - \omega_{\text{эксп}}|}{\omega_{\text{теор}}} = \frac{|4.4811 - 4.4600|}{4.4811} = 0.47\%$$

## 6 Синтез линейного корректирующего устройства

$$W(p) = \frac{R(p)}{Q(p)} = \frac{p^3 + 0.4p^2 + 50p + 2}{p^4 + 0.4p^3 + 20p^2}$$

Построим ЛАФЧХ данной системы. Для начала получим  $H(\omega)$  и  $\theta(\omega)$ , которые определяются из выражения  $W(i\omega) = H(\omega)e^{i\theta(\omega)}$ . Для удобства работы эти зависимости можно выразить так:

$$H(\omega) = |W(i\omega)|,$$

$$\theta(\omega) = \arg(W(i\omega)),$$

Сами логарифмическая амплитудная и фазовая частотная характеристики задаются следующим образом:

$$\text{ЛАЧХ: } \begin{cases} x = \lg \omega \\ y = 20 \lg H(\omega) \end{cases} \quad \text{ФЧХ: } \begin{cases} x = \lg \omega \\ y = \theta(\omega) \end{cases}$$

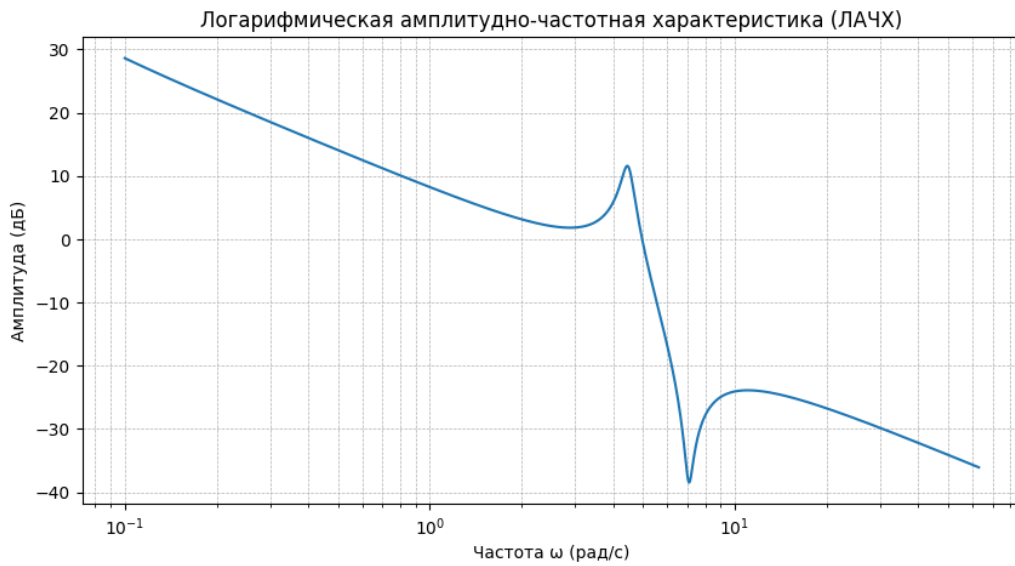


Рис. 6 – ЛАЧХ исходной системы

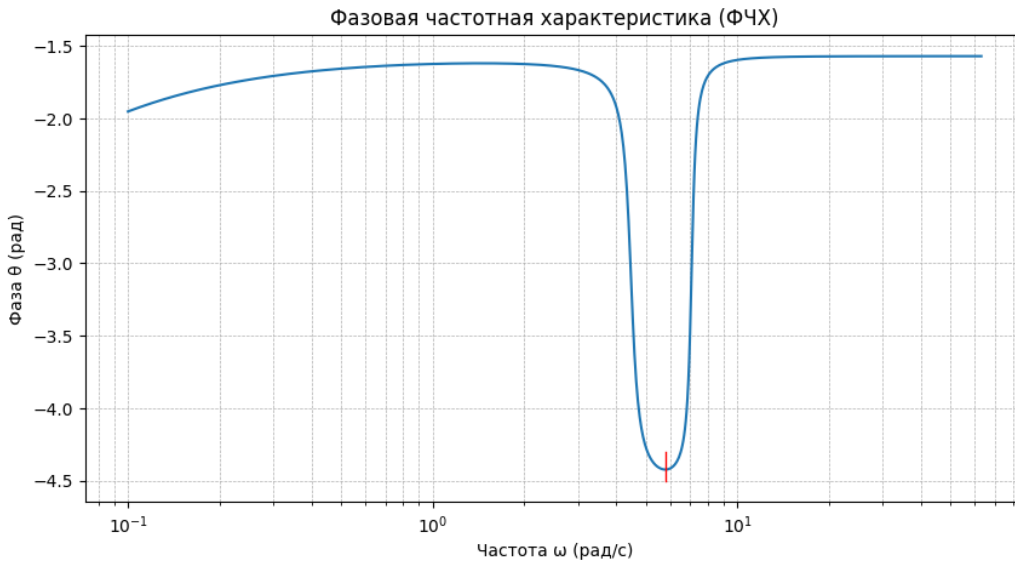


Рис. 7 – ФЧХ исходной системы



Для устранения автоколебаний необходимо поднять фазовую характеристику выше шаблона  $\theta(\omega) = -\pi - \mu(A) = -\pi$ , где  $\mu(A) = \operatorname{arctg} \frac{q'(A)}{q(A)} = 0$ . Выберем требуемое корректирующее устройство по наибольшей разности фазовых углов:

$$\theta_k = 4.42376 - 3.1416 = 1.28216 \text{ рад} = 73.4624^\circ$$

Определим значение  $\omega$ , соответствующее минимуму ФЧХ:

$$\omega = 10^{0.76296} = 5.7938$$

Ищем корректирующее устройство в виде:

$$W_1 = W_k(s) = \frac{\lambda_k(T_k s + 1)}{(\lambda_k T_k s + 1)} \text{ и } W_2 = W_k(s) = \frac{\lambda_k^2(T_k s + 1)^2}{(\lambda_k T_k s + 1)^2}$$

Определим параметры корректирующего устройства с помощью номограммы:

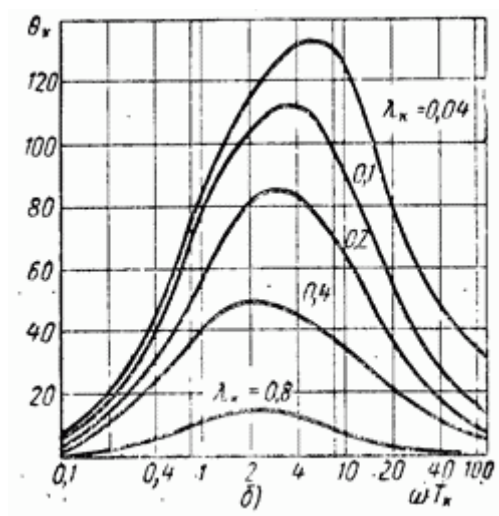


Рис. 8 – Номограмма

Получаем:  $\lambda_k = 0.1$ ,  $\omega T_k = 1$ , т.е.  $T_k = \frac{1}{5.7937} = 0.1726$

Отсюда  $W_1 = W_k(s) = \frac{0.1(0.1726s + 1)}{(0.01726s + 1)}$  и  $W_2 = W_k(s) = \frac{0.01(0.1726s + 1)^2}{(0.01726s + 1)^2}$

## 7 Модель системы с корректирующим устройством $W_1$

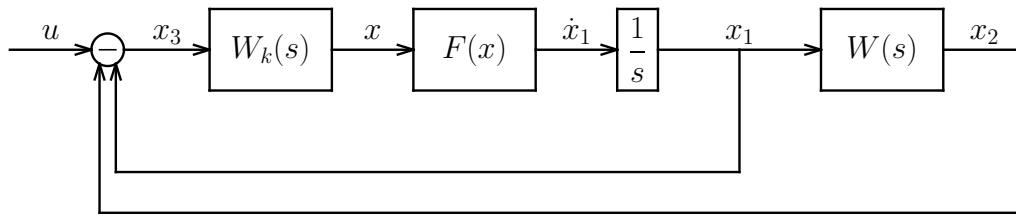


Рис. 9 – Нелинейная САУ с корректирующим устройством

Выпишем новую систему с учётом корректирующего устройства:

$$\begin{cases} x_3 = u - x_1 - x_2 \\ \dot{x}_1 = F(x) \\ \dot{x}_2 = y_1 \\ \dot{y}_1 = y_2 \\ \dot{y}_2 = 2x_1 - 20y_1 - 0.4y_2 + 30F(x) \\ \dot{x} = \lambda_k T_k (-F(x) - y_1) + \lambda_k x_3 - x \end{cases}$$

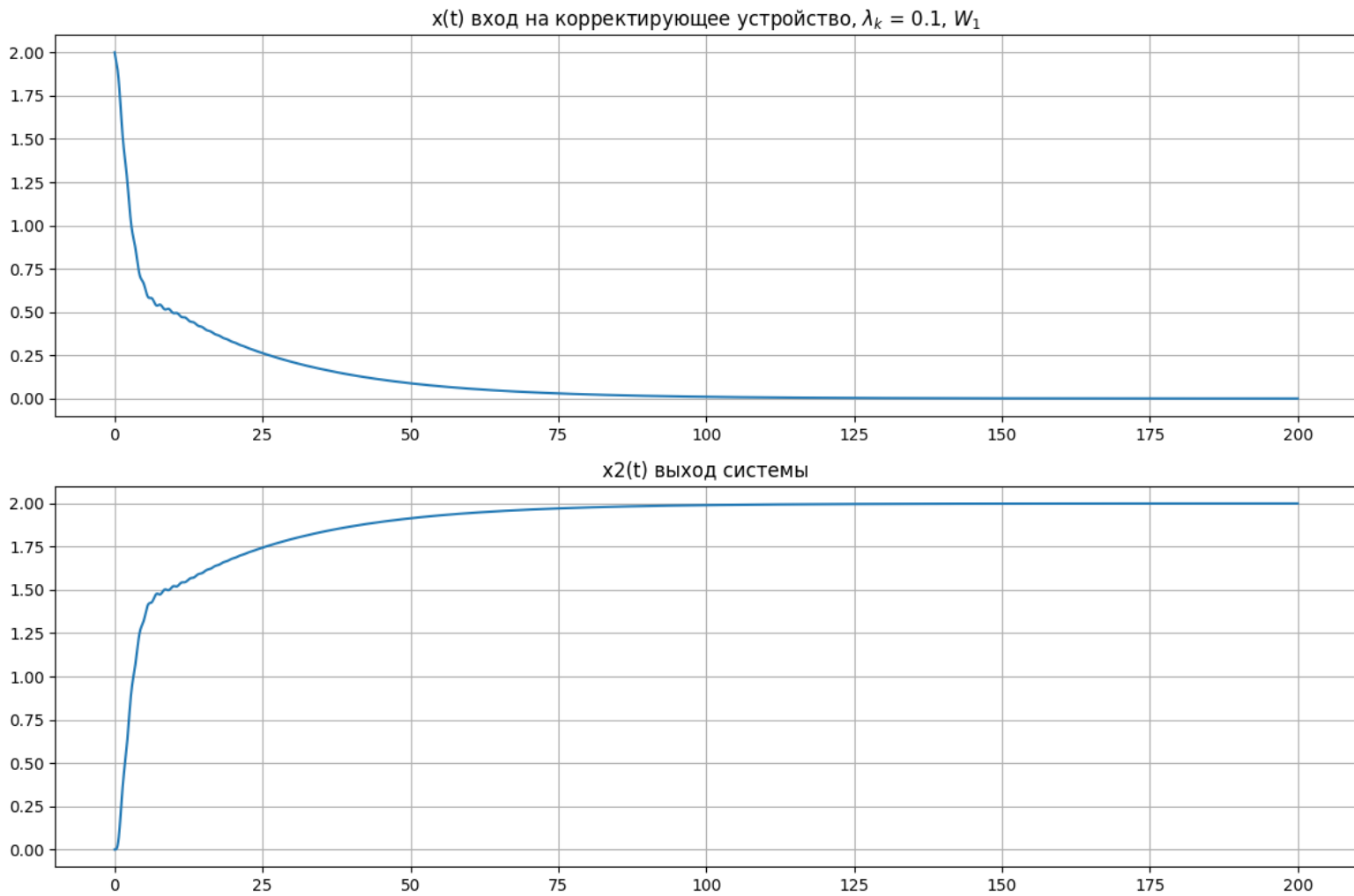


Рис. 10 – Корректирующее устройство  $W_1$

Видны какие-то колебания на участке  $[5, 15]$ , попробуем сгладить их взяв  $\lambda_k = 0.05$

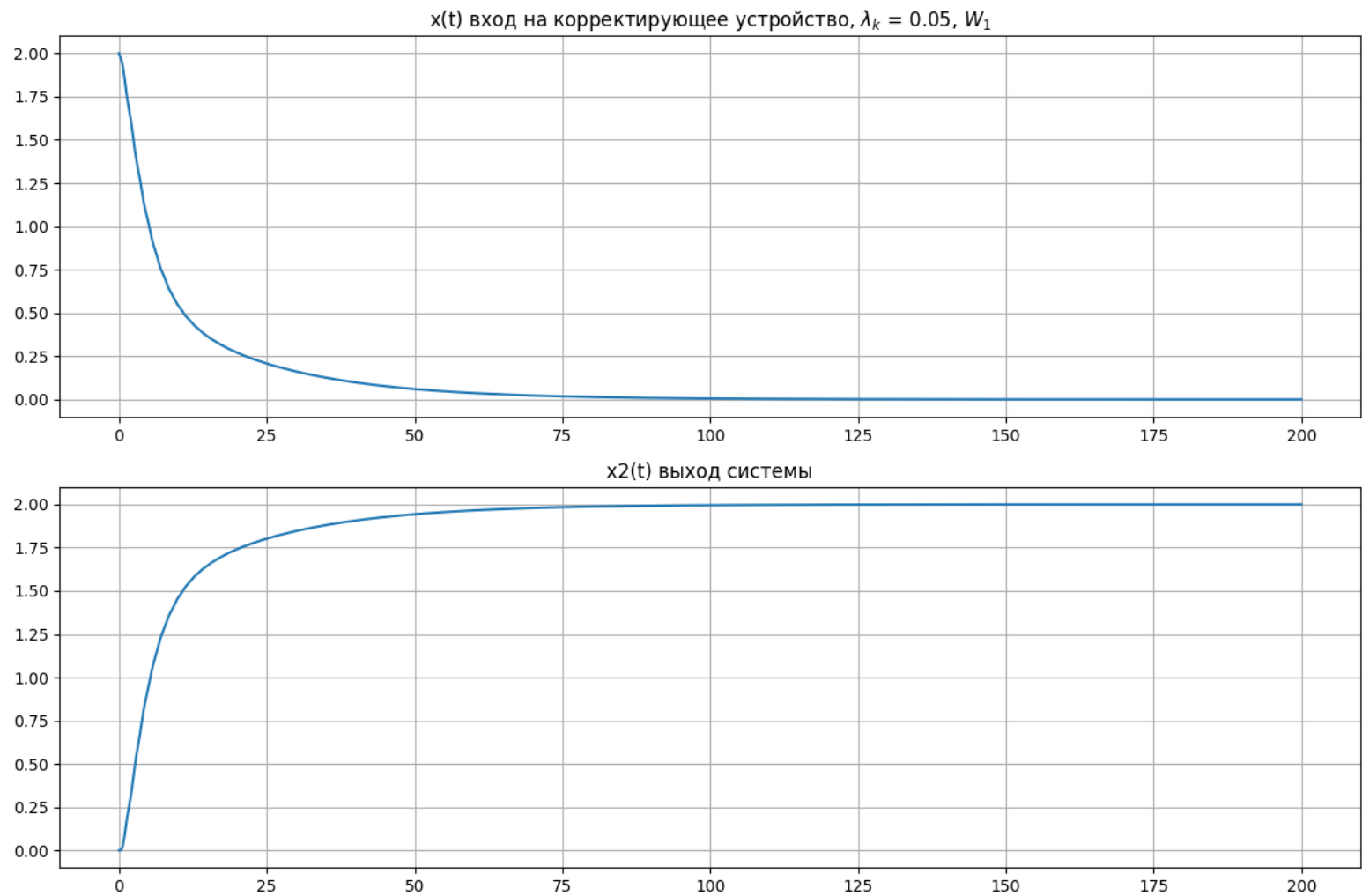


Рис. 11 – Корректирующее устройство  $W_1$

По построенным графикам сигналов в скорректированной системе можно утверждать, что автоколебания были подавлены.

## 8 Модель системы с корректирующим устройством $W_2$

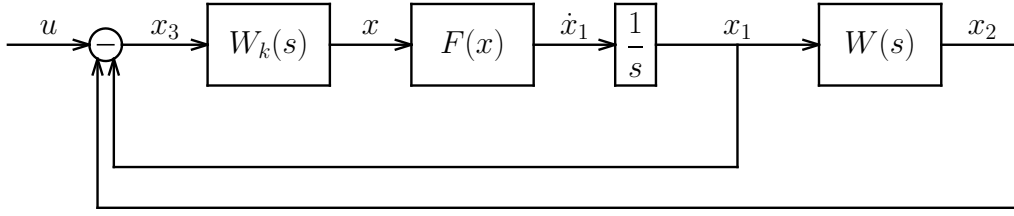


Рис. 12 – Нелинейная САУ с корректирующим устройством

Выпишем новую систему с учётом корректирующего устройства:

$$\begin{cases} x_3 = u - x_1 - x_2 \\ \dot{x}_1 = F(x) \\ \dot{x}_2 = y_1 \\ \dot{y}_1 = y_2 \\ \dot{y}_2 = 2x_1 - 20y_1 - 0.4y_2 + 30F(x) \\ \dot{x} = z\dot{z} = \frac{1}{\lambda_k^2 T_k^2} \left( -2\lambda_k T_k z - x + \lambda_k^2 x_3 + 2\lambda_k^2 T_k (-F(x) - y_1) + \lambda_k^2 T_k^2 (-zF'(x) - y_2) \right) \end{cases}$$

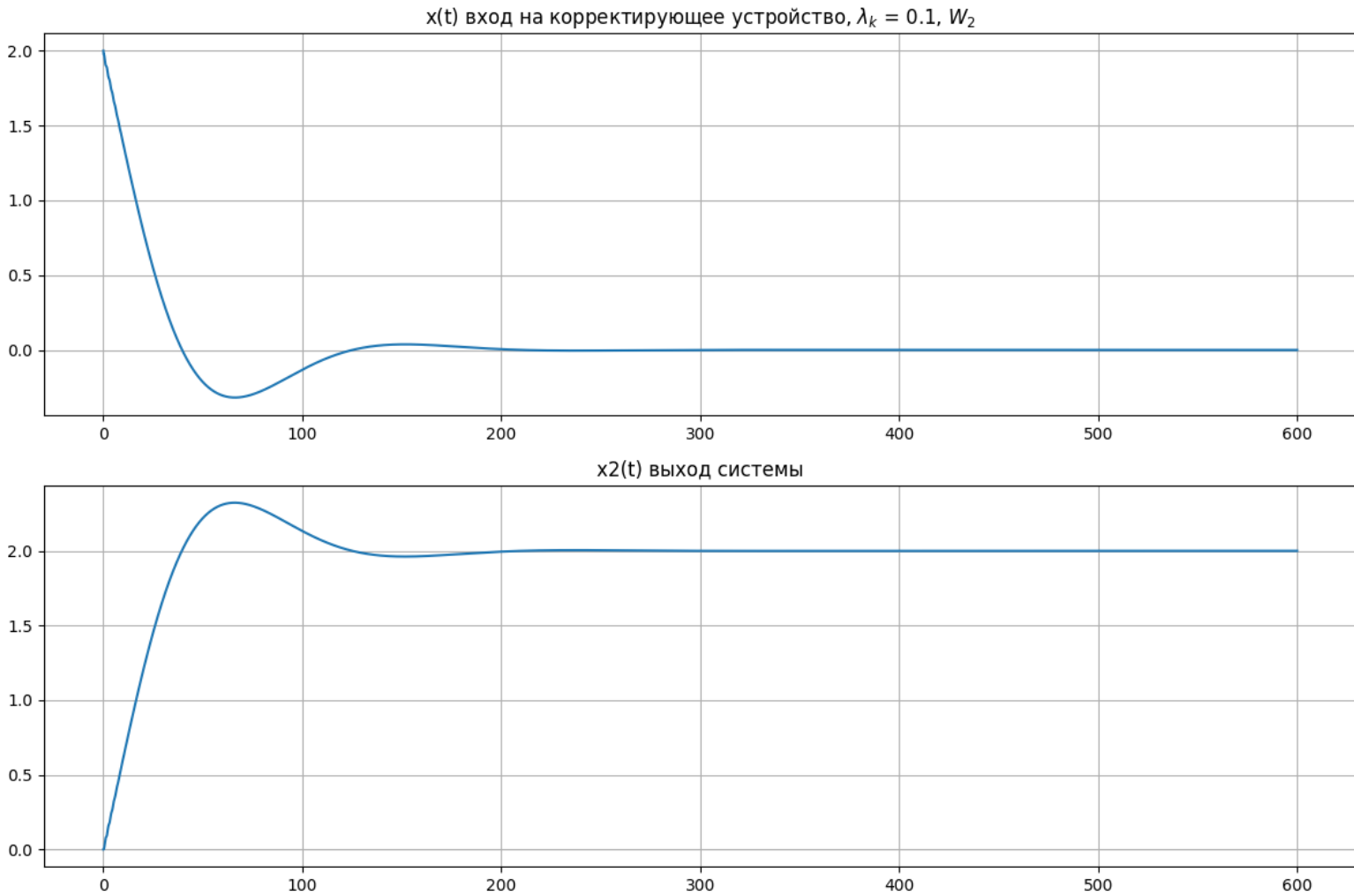


Рис. 13 – Корректирующее устройство  $W_2$

По построенным графикам сигналов в скорректированной системе можно утверждать, что автоколебания были подавлены.

## 9 Анализ результатов

В ходе выполнения данной лабораторной работы был изучен метод гармонической линеаризации применительно к расчету параметров автоколебаний в нелинейных системах. Наличие автоколебаний было определено путем моделирования системы в программе на языке python с использованием библиотек numpy, matplotlib и scipy.

Параметры автоколебаний смоделированной системы:

$$A_{\text{экс}} = 9.44$$
$$\omega_{\text{экс}} = \frac{2\pi}{T} = \frac{2\pi}{1.40} = 4.46$$

Далее при помощи метода гармонической линеаризации были рассчитаны параметры автоколебаний:

$$A_{\text{теор}} = 9.9837$$
$$\omega_{\text{теор}} = 4.4811$$

Погрешности расчетов составили 5.44% по амплитуде и 0.47% по частоте.

Для подавления автоколебаний было синтезировано линейное корректирующее устройство. Для синтеза корректирующего устройства был использован метод шаблонов. Наибольшая разность фазовых углов составила  $\theta_k = 73.4624^\circ$  при частоте  $\omega = 5.7938$ .

Параметры синтезируемых корректирующих устройств были получены с использованием номограммы и составили:

$$W_1: T_k = 0.1726, \lambda_k = 0.1 \text{ и, в качестве эксперимента } \lambda_k = 0.05$$

$$W_2: T_k = 0.1726, \lambda_k = 0.1$$

Таким образом передаточные функции корректирующих устройств имеют вид:

$$W_1 = W_k(s) = \frac{0.1(0.1726s + 1)}{(0.01726s + 1)} \text{ при } \lambda_k = 0.1$$
$$W_1 = W_k(s) = \frac{0.05(0.1726s + 1)}{(0.00863s + 1)} \text{ при } \lambda_k = 0.05$$
$$W_2 = W_k(s) = \frac{0.01(0.1726s + 1)^2}{(0.01726s + 1)^2}$$

Графики зависимости входного и выходного сигнала от времени показали, что автоколебания были подавлены.

## 10 Программная реализация

[https://github.com/grownike/TNSR\\_Lab3](https://github.com/grownike/TNSR_Lab3)